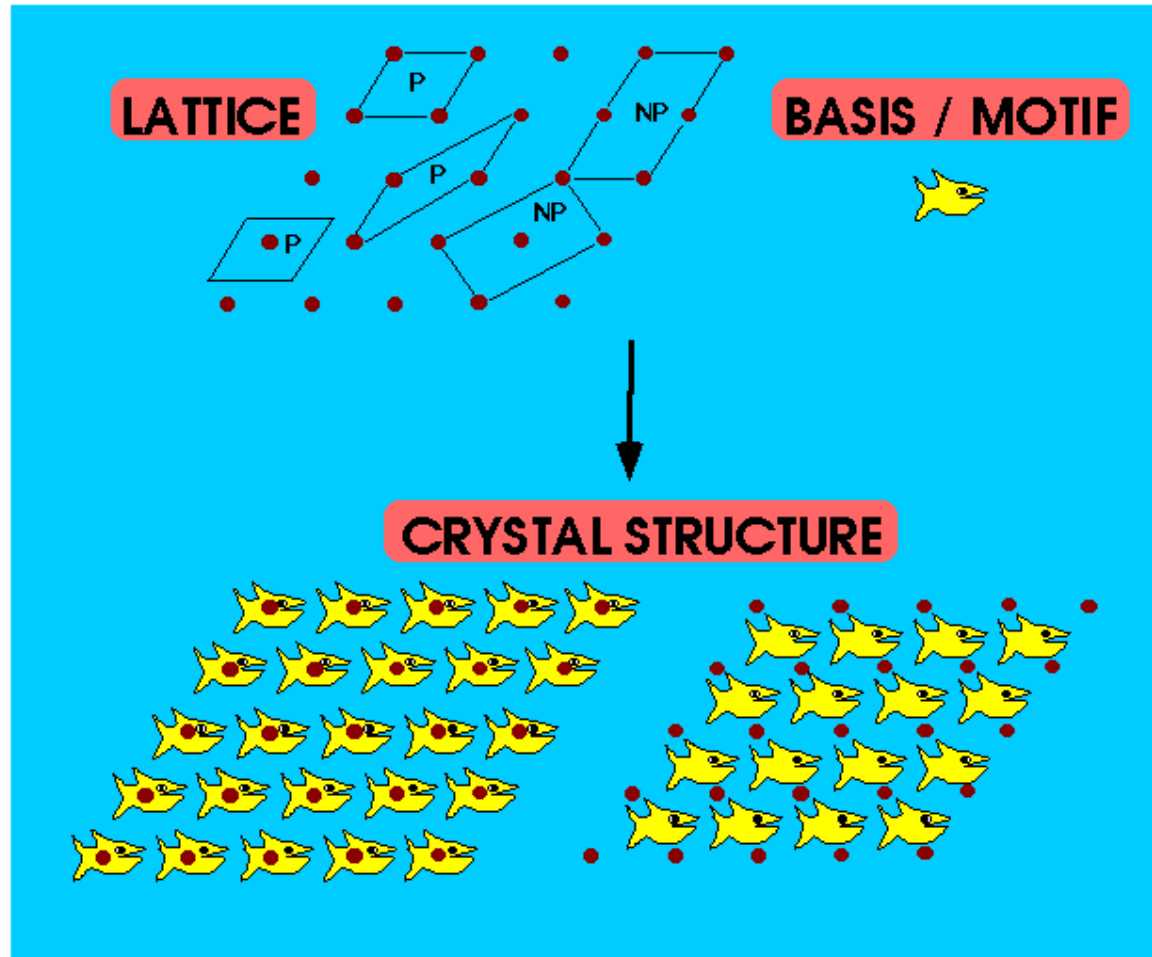


## 2) Structure du cristal parfait

### 2.1 Rappels de cristallographie

#### 2.1.1 Introduction

Cristal=motif + réseau (de Bravais)



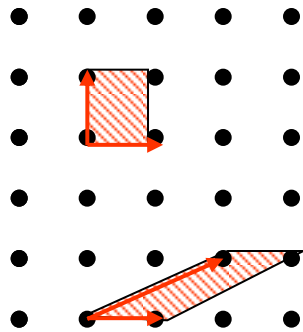
## 2) Structure du cristal parfait

$$\vec{t} = p\vec{a} + q\vec{b} + r\vec{c}$$

$$p, q, r \in \mathbb{Z}$$

$$\Omega = \vec{a} \cdot (\vec{b} \times \vec{c})$$

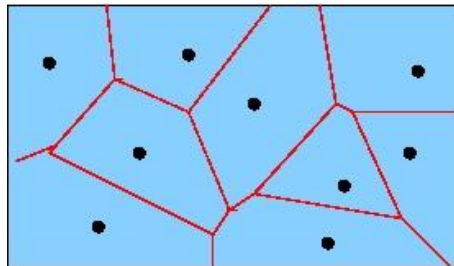
Différents choix possibles



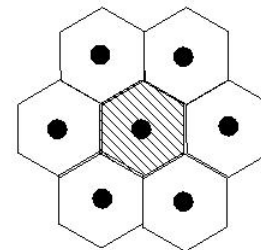
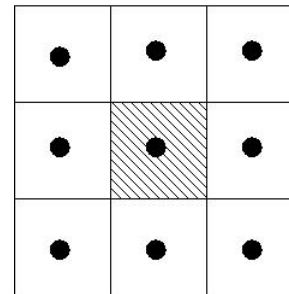
Tout « triplet »  $(a,b,c)$  de volume  $\Omega$  est un choix possible pour définir la maille primitive

Maille primitive « intelligente »: cellule de Voronoi (cellule de Wigner Seitz pour le cristal)

Cas général



Cas périodique

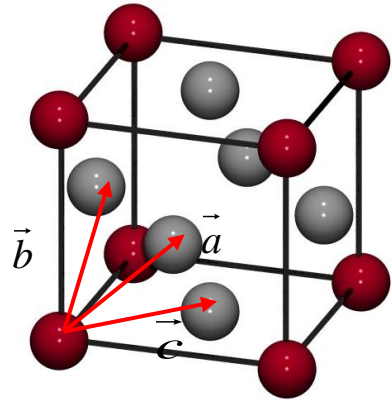


## 2) Structure du cristal parfait

### Structure cristallographique

### Cellule de Wigner Seitz

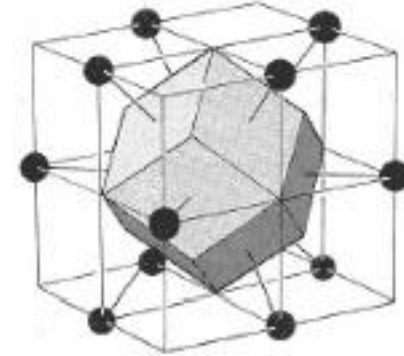
**CFC**  
Cubique  
Faces Centrées



$$\begin{cases} \vec{a} = \frac{a}{2}(\vec{y} + \vec{z}) \\ \vec{b} = \frac{a}{2}(\vec{x} + \vec{z}) \\ \vec{c} = \frac{a}{2}(\vec{x} + \vec{y}) \end{cases}$$

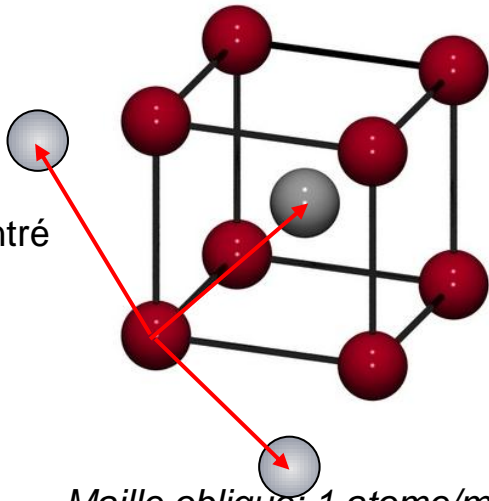
Maille oblique: 1 atome/maille  
Maille cubique: 4 atomes/maille

$$\Omega = (\vec{a} \times \vec{b}) \cdot \vec{c}$$



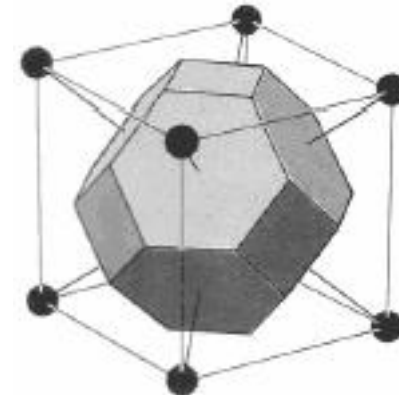
$$\Omega = \frac{a^3}{4}$$

**CC**  
Cubique Centré



$$\begin{cases} \vec{a} = \frac{a}{2}(-\vec{i} + \vec{j} + \vec{k}) \\ \vec{b} = \frac{a}{2}(\vec{i} - \vec{j} + \vec{k}) \\ \vec{c} = \frac{a}{2}(\vec{i} + \vec{j} - \vec{k}) \end{cases}$$

Maille oblique: 1 atome/maille  
Maille cubique: 2 atomes/maille



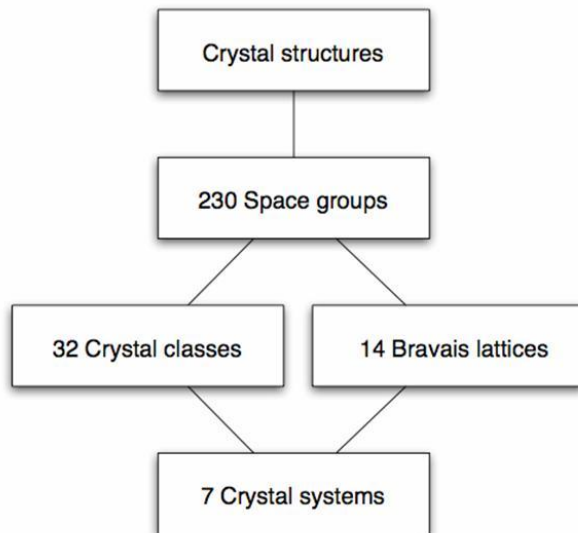
$$\Omega = \frac{a^3}{2}$$

*Exercice: déterminer la liste des premiers voisins*

# 2) Structure du cristal parfait

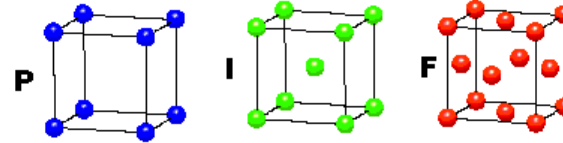
## 2.1.2 Classification et cristallographie

Cristallographie=classification des cristaux en fonction de leur symétrie

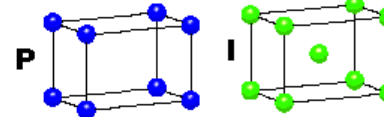


[Web site](#)

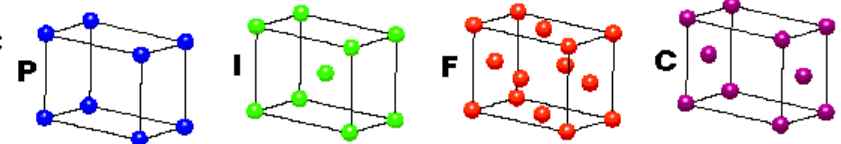
**CUBIC**  
 $a = b = c$   
 $\alpha = \beta = \gamma = 90^\circ$



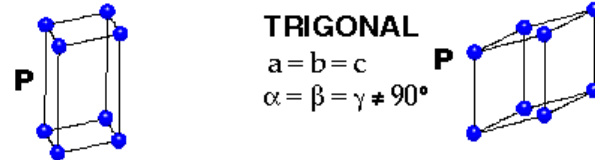
**TETRAGONAL**  
 $a = b \neq c$   
 $\alpha = \beta = \gamma = 90^\circ$



**ORTHORHOMBIC**  
 $a \neq b \neq c$   
 $\alpha = \beta = \gamma = 90^\circ$

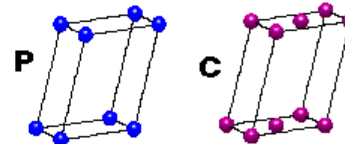


**HEXAGONAL**  
 $a = b \neq c$   
 $\alpha = \beta = 90^\circ$   
 $\gamma = 120^\circ$

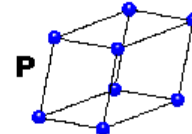


**TRIGONAL**  
 $a = b = c$   
 $\alpha = \beta = \gamma \neq 90^\circ$

**MONOCLINIC**  
 $a \neq b \neq c$   
 $\alpha = \gamma = 90^\circ$   
 $\beta \neq 120^\circ$



**TRICLINIC**  
 $a \neq b \neq c$   
 $\alpha \neq \beta \neq \gamma \neq 90^\circ$



**4 Types of Unit Cell**

P = Primitive  
 I = Body-Centred  
 F = Face-Centred  
 C = Side-Centred

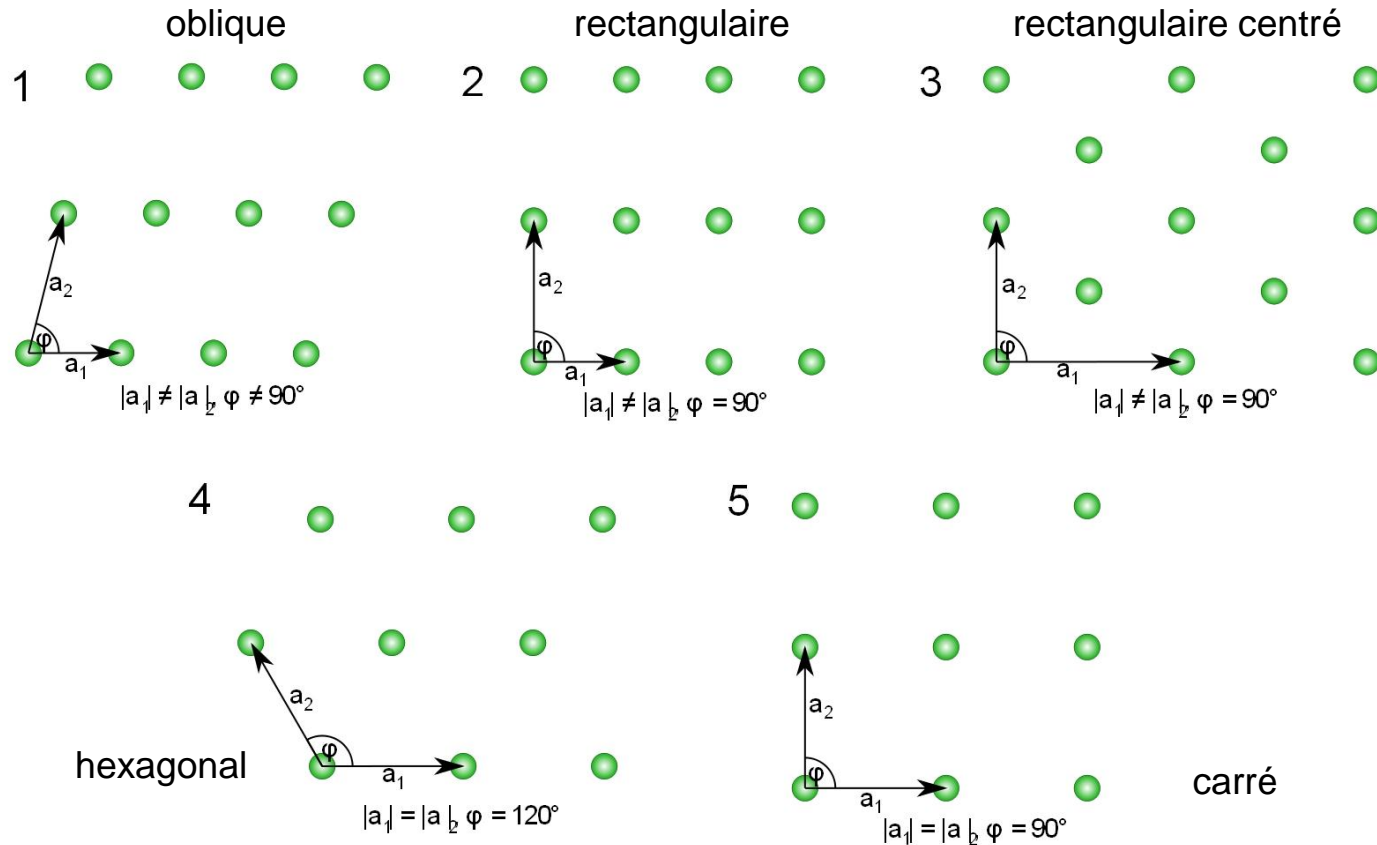
+

**7 Crystal Classes**  
 → **14 Bravais Lattices**

## 2) Structure du cristal parfait

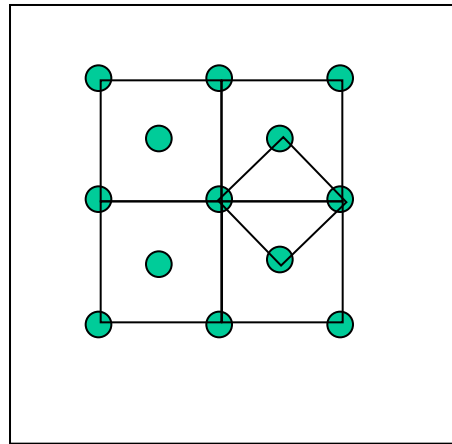
En dimension 2 c'est beaucoup plus simple!

17 groupes d'espace 5 réseaux de Bravais

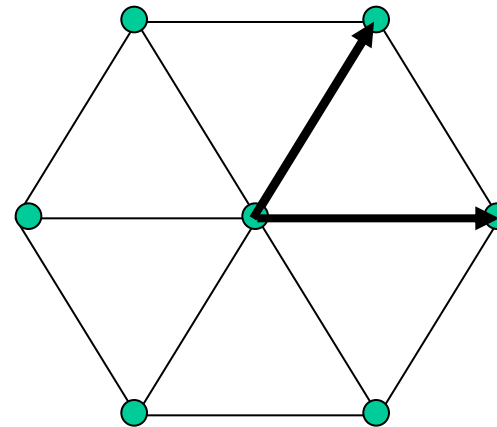
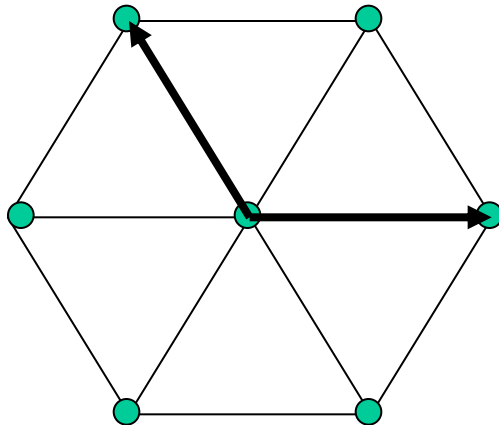


## 2) Structure du cristal parfait

carré centré= carré



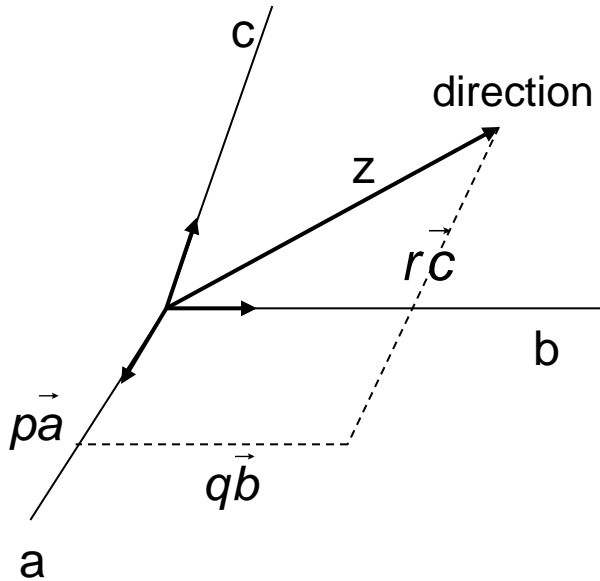
2 mailles élémentaires possibles pour l'hexagonal



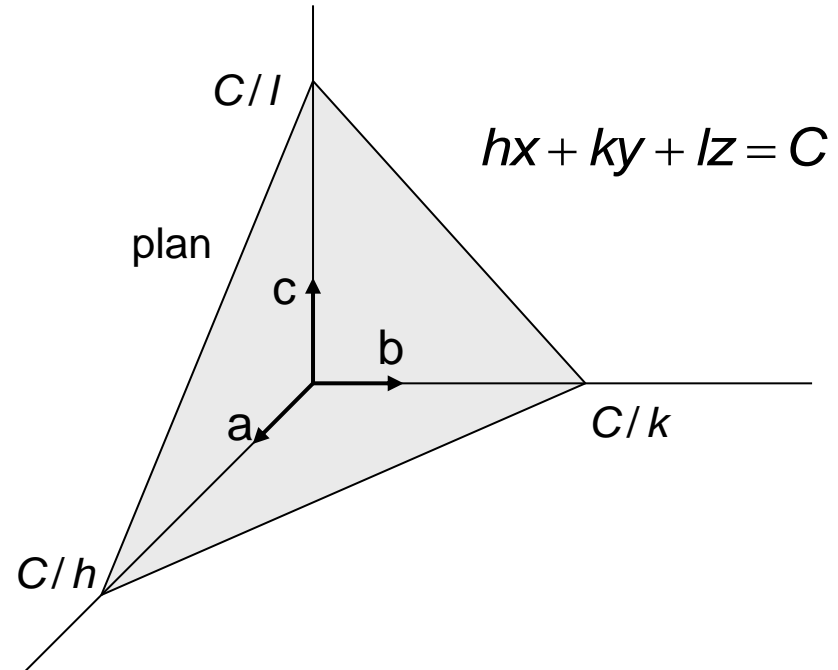
## 2) Structure du cristal parfait

### 2.1.3 Se repérer dans un cristal: directions et plans atomiques

rangée réticulaire  $[p, q, r]$



plan réticulaire  $(h, k, l)$  (Indices de Miller)

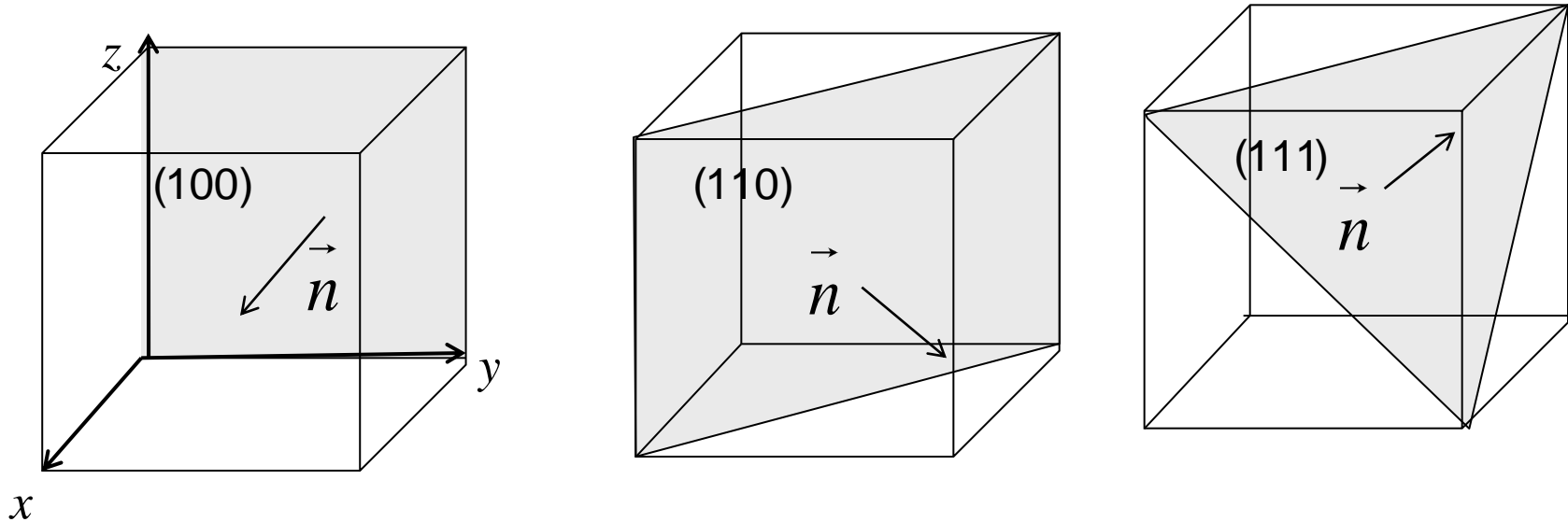


## 2) Structure du cristal parfait

### Système cubique

Dans un système cubique la rangée  $[h,k,l]$  est perpendiculaire au plan  $(h,k,l)$

Le vecteur  $\vec{n} = h\vec{x} + k\vec{y} + l\vec{z}$  est perpendiculaire au plan  $(h,k,l)$



Distance inter-plan

$$d_{hkl} = \frac{a}{\sqrt{h^2 + k^2 + l^2}}$$

$(h,k,l)$  désigne également l'orientation d'une **surface cristalline**

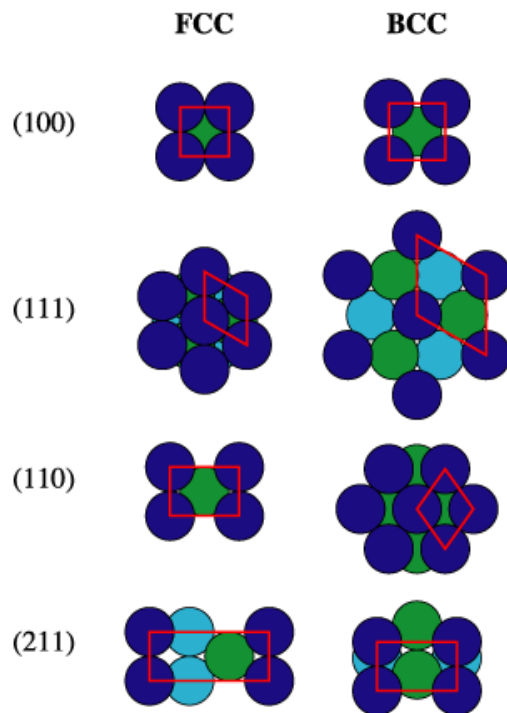
Les surfaces les plus denses sont celles de « bas » indice de Miller

## 2) Structure du cristal parfait

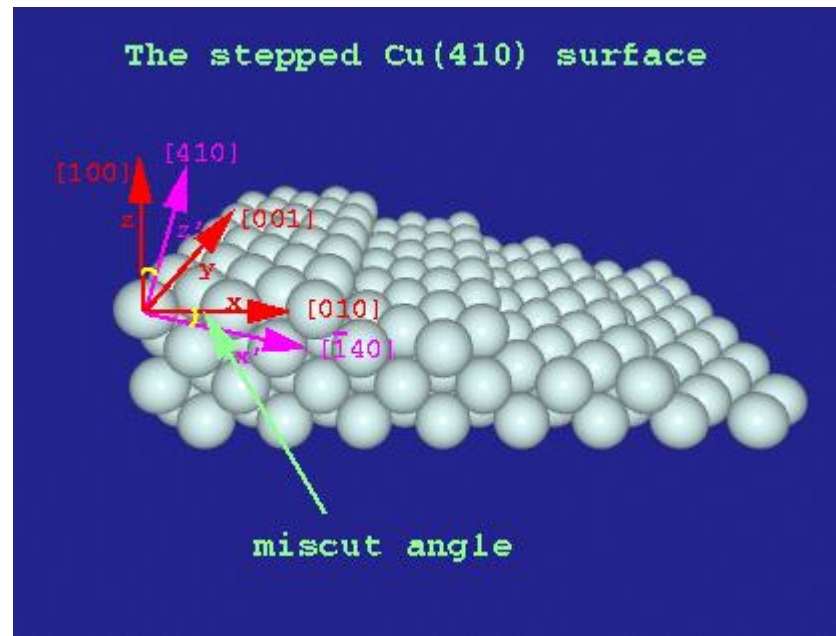
### Surfaces cristallines

Le vecteur  $\vec{n} = h\vec{x} + k\vec{y} + l\vec{z}$  désigne la normale au plan de surface  $(h, k, l)$

Quelques surfaces simples

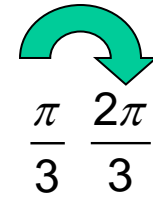
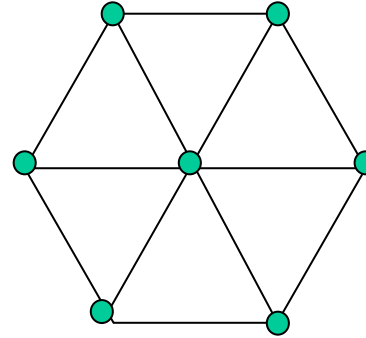
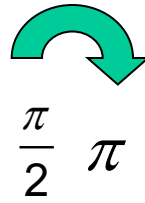
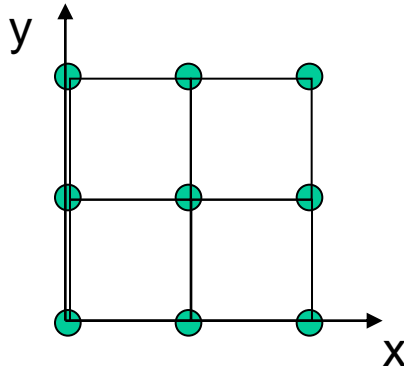


surfaces vicinales (ou « à marche »)



## 2) Structure du cristal parfait

### 2.1.4 Symétries permises et interdites



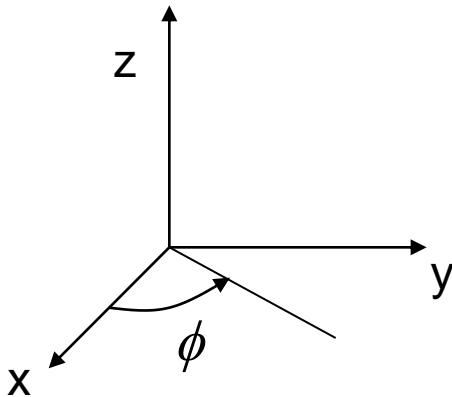
$$\phi = 0, \frac{\pi}{3}, \frac{\pi}{2}, \frac{2\pi}{3}, \pi$$

$\phi = \frac{2\pi}{5}$  est-elle possible?

$$\text{Tr}(R_\phi) = (1 + 2\cos\phi) \notin \mathbb{Z}$$

$$R_\phi = \begin{pmatrix} \cos\phi & -\sin\phi & 0 \\ \sin\phi & \cos\phi & 0 \\ 0 & 0 & 1 \end{pmatrix}$$

$$\phi = \frac{2\pi}{5} \text{ impossible}$$



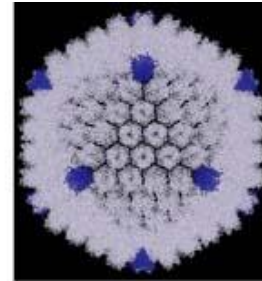
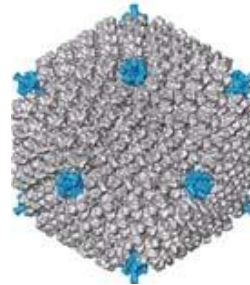
La symétrie 5 est impossible dans un cristal périodique

## 2) Structure du cristal parfait

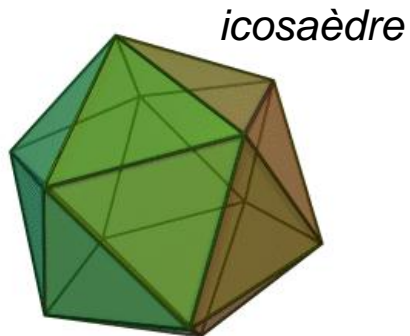
Pourtant la symétrie 5 est très présente dans la nature



*oursin*

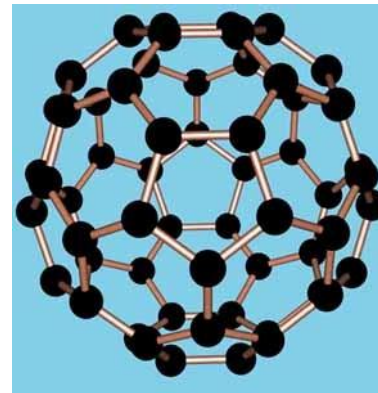


*Virus icosaédrique  
(adenovirus etc..)*



20 faces triangulaires

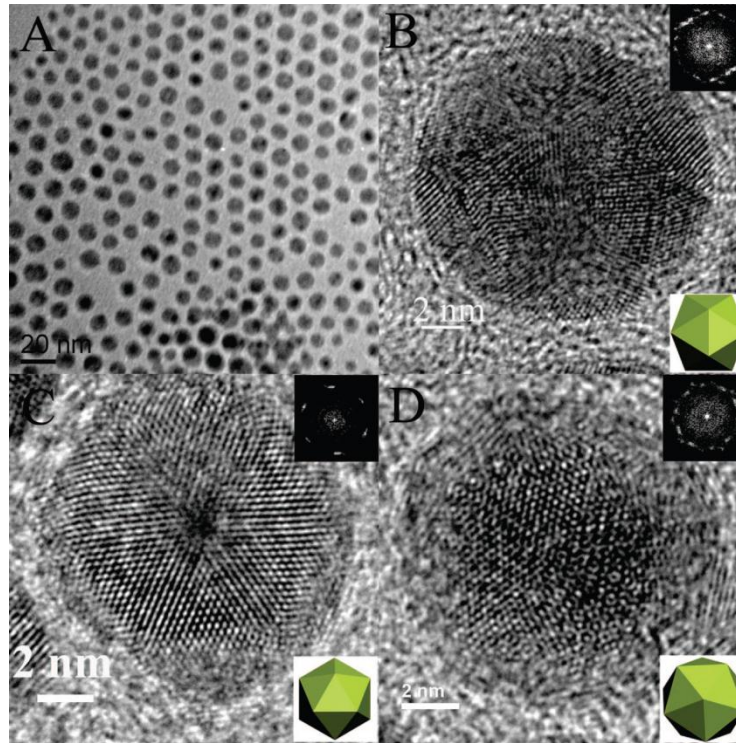
Chaque axe reliant le centre  
à un sommet est de symétrie 5



*C60*

## 2) Structure du cristal parfait

→ Agrégats icosaédriques

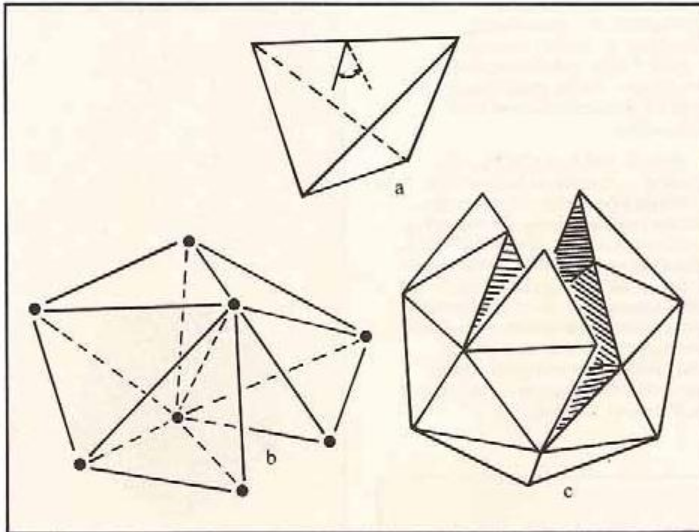


ACS Nano 2009, 139 (2008)

## 2) Structure du cristal parfait

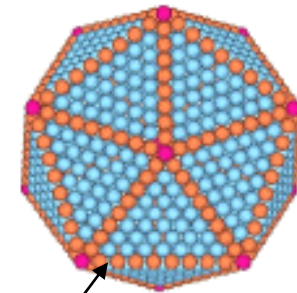
icosaèdre

20 tétraèdres  
**légèrement irréguliers**  
sur un réseau CFC



Défavorable pour les grandes tailles  
(énergie élastique)

Minimisation de l'énergie  
de surface



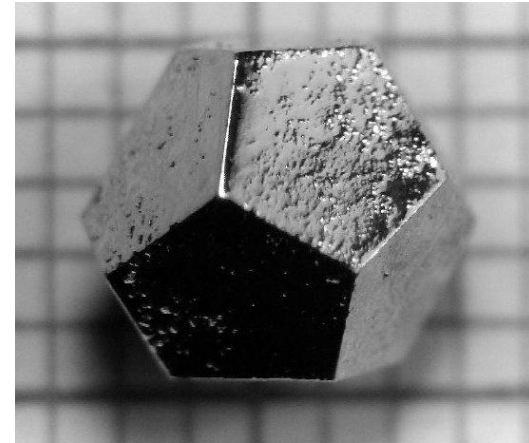
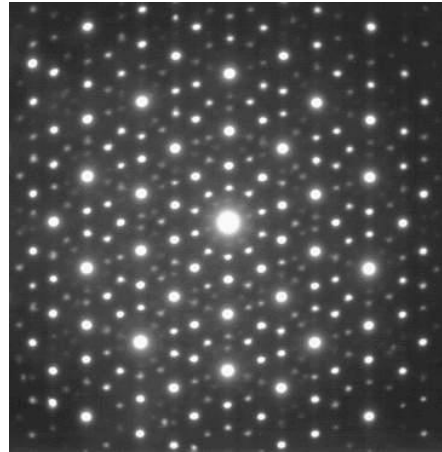
Surface dense (111)

## 2) Structure du cristal parfait

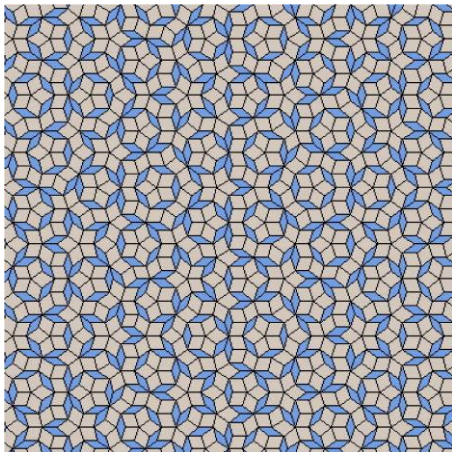
→ quasicristaux



Dan Shechtman  
Prix Nobel de Chimie 2011



Ordre à longue distance et symétrie 5 sont compatibles dans les quasicristaux



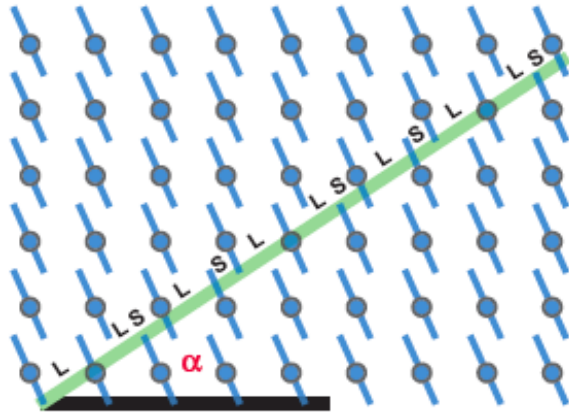
Ordre à longue distance n'implique pas la périodicité

Pavage de Penrose avec 2 losanges.  
multitudes de pavages possibles

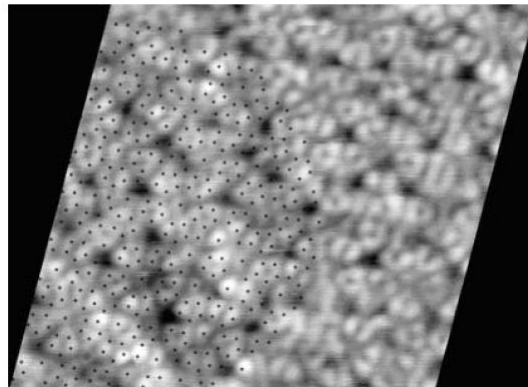
Généralisation de la notion de symétrie  
(pas d'axe de symétrie particulier)

## 2) Structure du cristal parfait

Quasicristal= coupe d'un cristal de dimension supérieure



Surface d'un quasicristal: on voit les atomes!

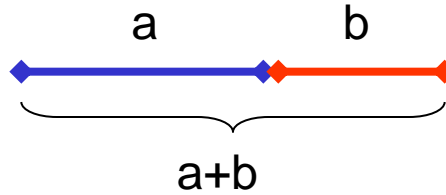


## 2) Structure du cristal parfait

→ Le nombre d'or

$$\varphi = \frac{1 + \sqrt{5}}{2} = 1.6180339\dots$$

$$\varphi = 1 + \frac{1}{1 + \frac{1}{1 + \frac{1}{1 + \dots}}}$$



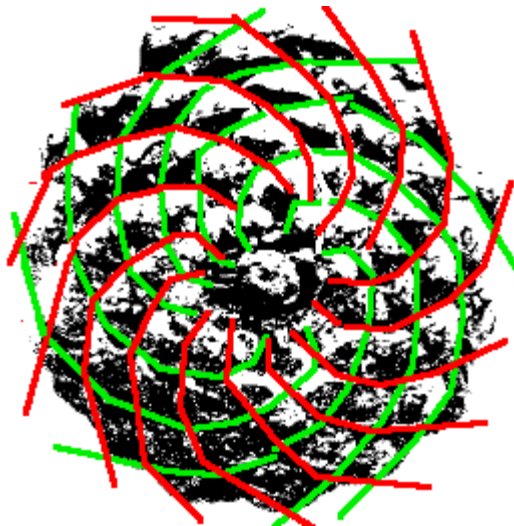
$$\varphi = 2 \cos \frac{\pi}{5}$$

**a+b** est à **a** ce que **a** est à **b**!

$$\varphi^2 = \varphi + 1$$

$$\varphi = \sqrt{1 + \sqrt{1 + \sqrt{1 + \sqrt{1 + \dots}}}}$$

pomme de pain



Arrangement  
des feuilles sur  
un tige

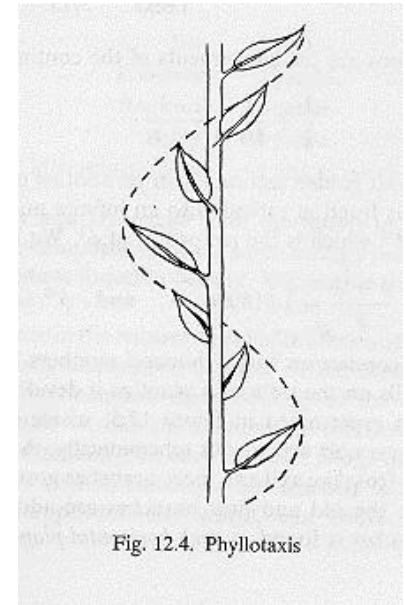


Fig. 12.4. Phyllotaxis

## 2) Structure du cristal parfait

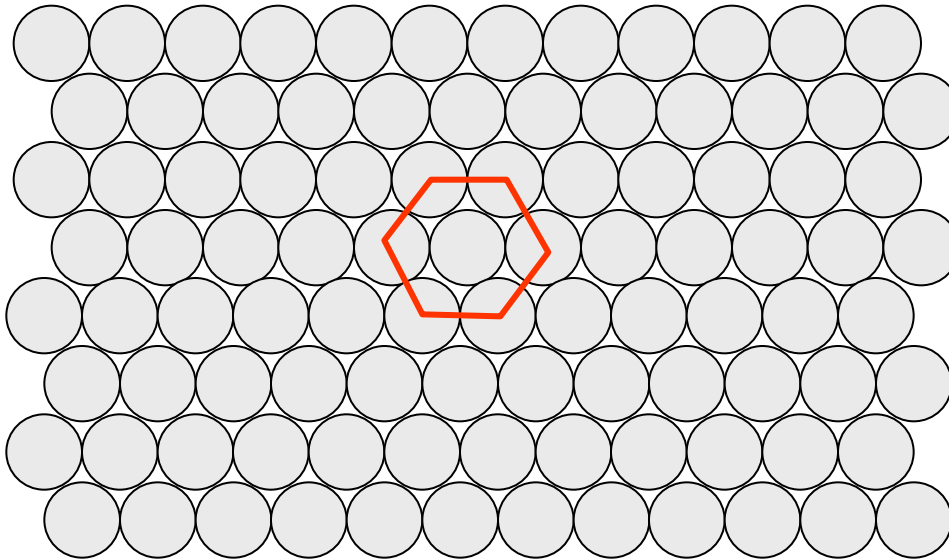
### 2.1.5 Empilements compacts

1D: trivial



Taux de remplissage=100%

2D: empilement de 1D



Taux de remplissage=85%

## 2) Structure du cristal parfait

---

3D: connu depuis longtemps par les vendeurs d'orange mais démontré très récemment (conjecture de Kepler)

Un des 23 problèmes de **Hilbert**  
démontré par **Thomas Hales** (1998)  
à l'aide d'un programme informatique

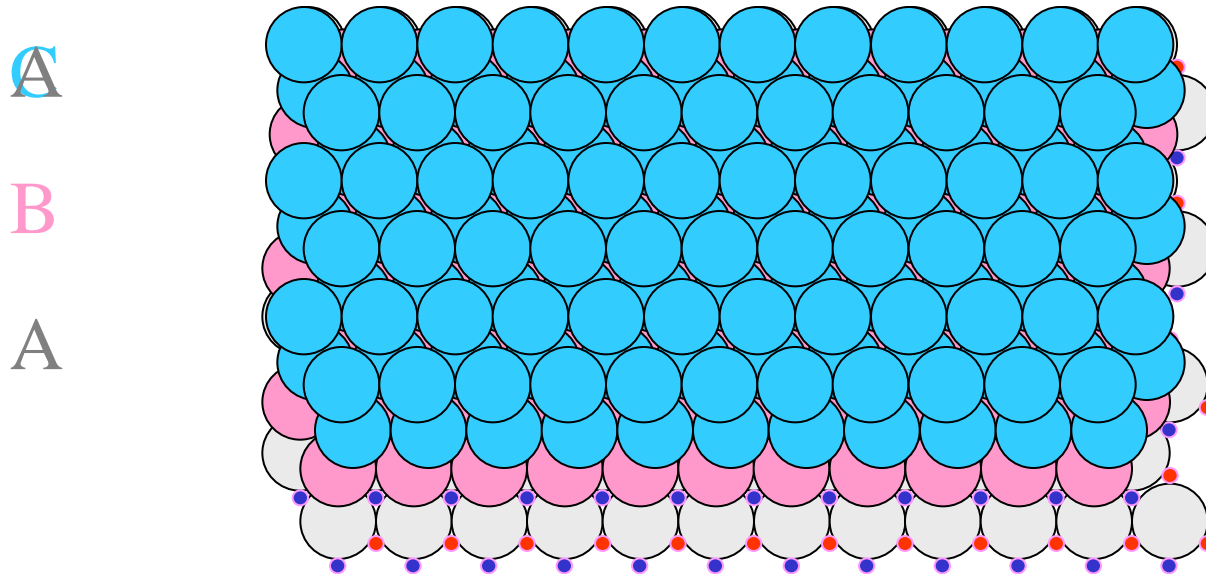


## 2) Structure du cristal parfait

---

3D: empilement compact

Taux de remplissage=73%



## 2) Structure du cristal parfait

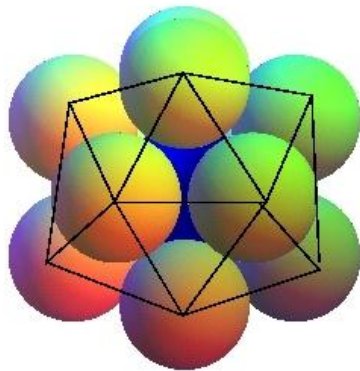
Est-ce bien l'empilement le plus compact?

1D: maximum de compacité

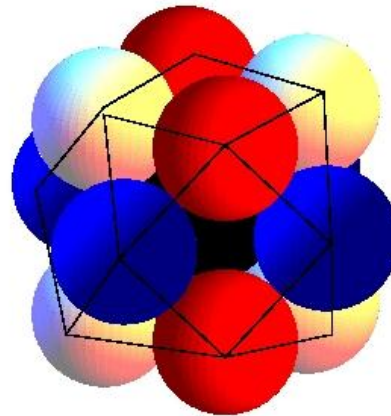
2D: les cercles sont tangents entre eux

3D: Il reste un peu d'espace entre les sphères

→ Problème de la 13eme sphère!



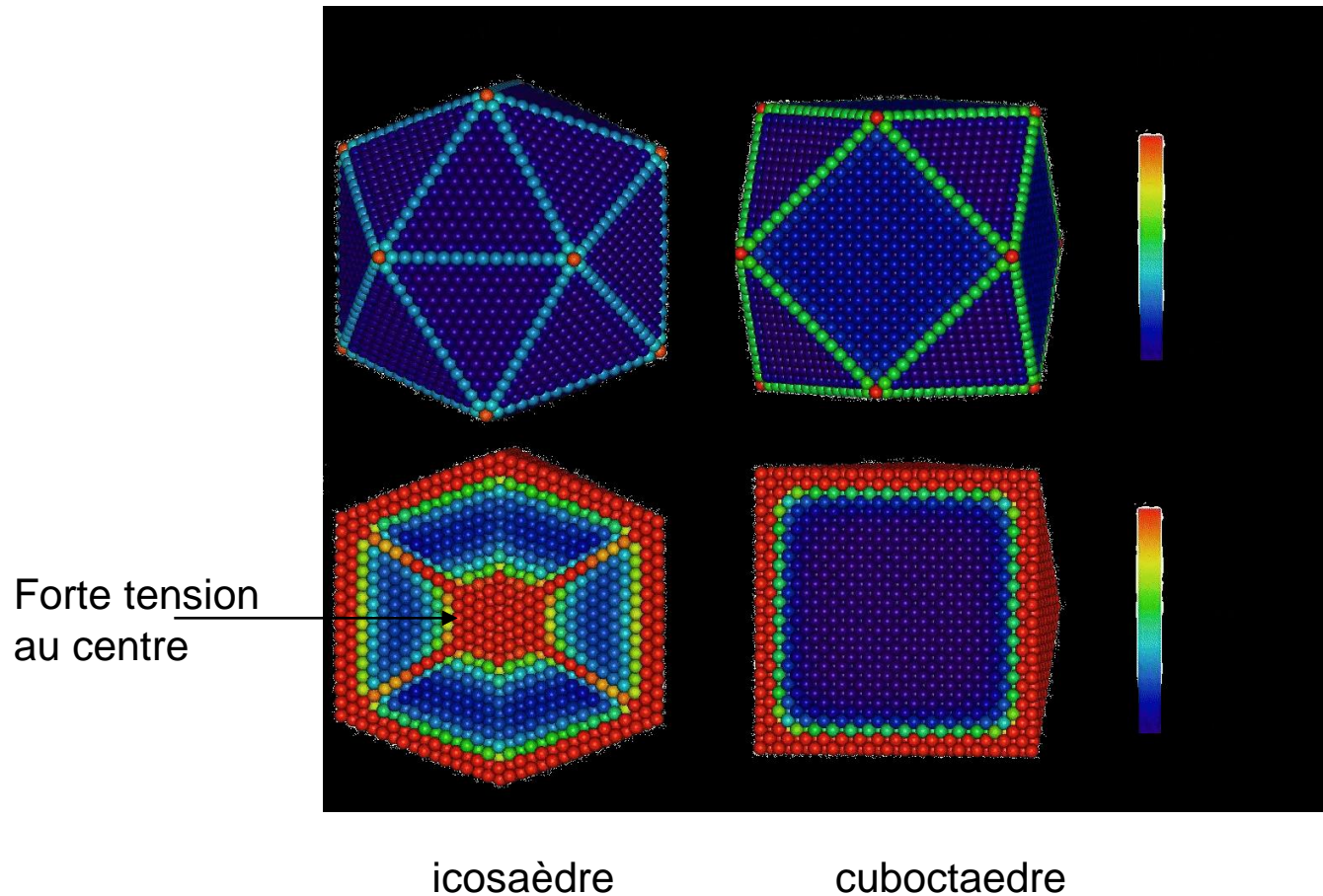
icosaèdre



cuboctaèdre

Le plus petit cubo:  
Atome central et ses 12  
premiers voisins CFC

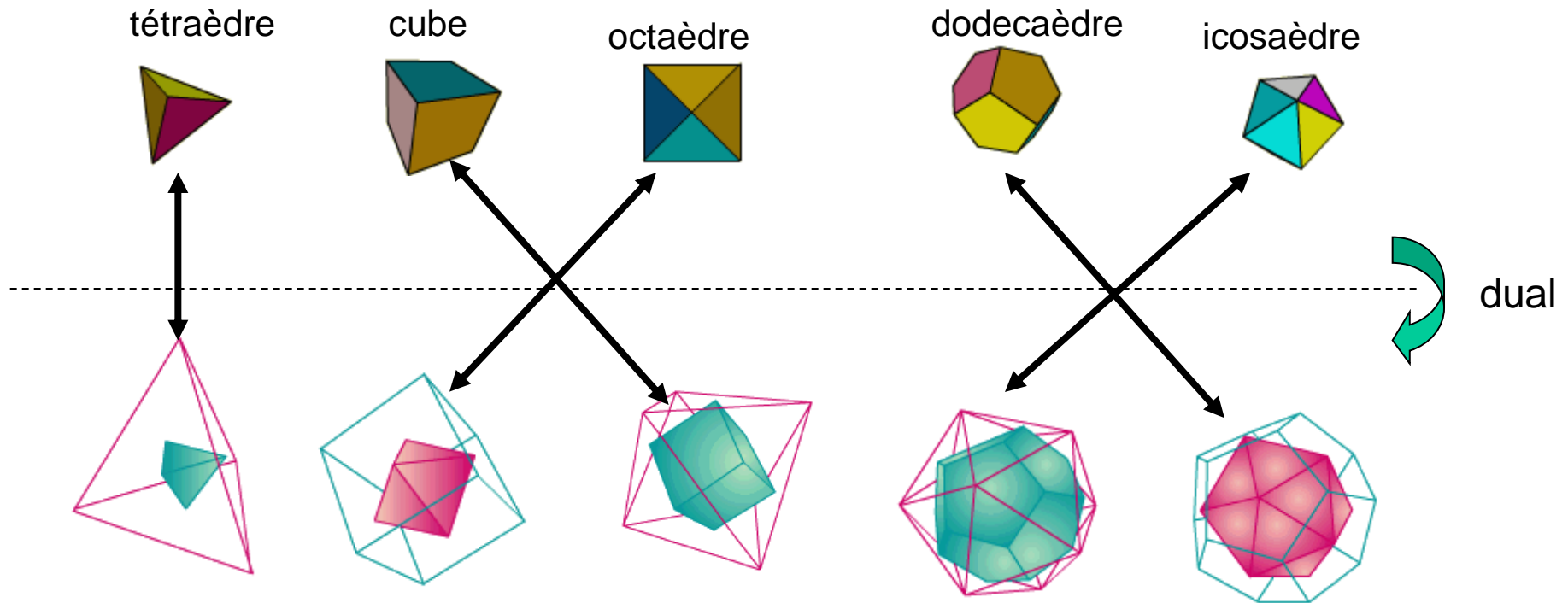
## 2) Structure du cristal parfait



Icosaèdre: favorable aux petites tailles mais défavorable aux grandes tailles du fait de l'énergie élastique qui finit par dominer.

## 2) Structure du cristal parfait

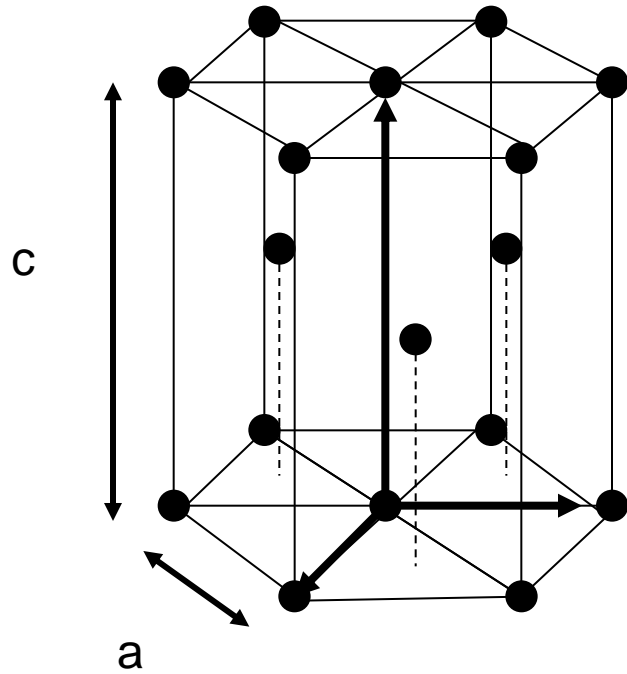
### Solides Platoniciens



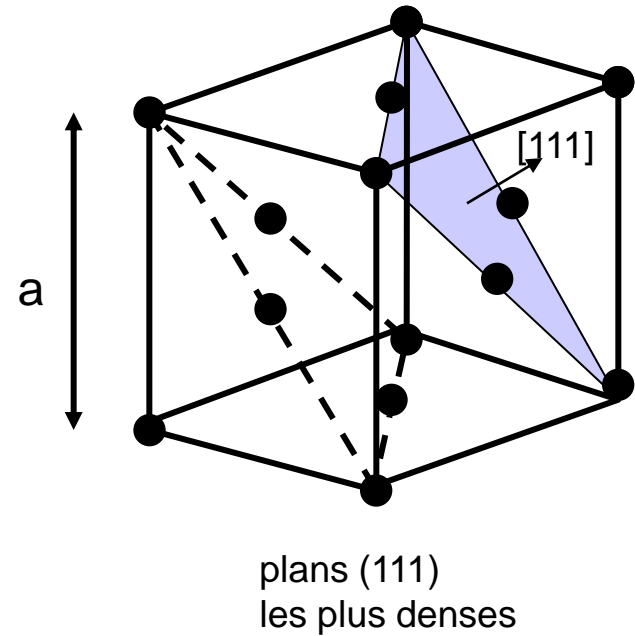


## 2) Structure du cristal parfait

ABABAB= hexagonal compact



ABCABC= CFC



Nombre d'opérations  
de symétrie

24

48

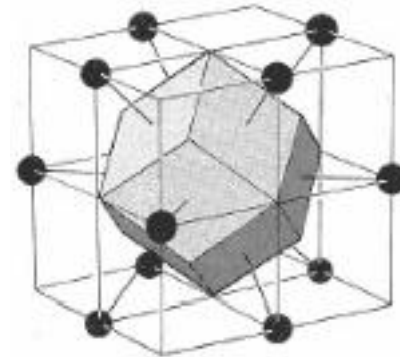
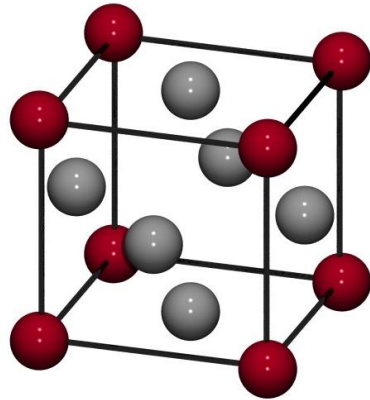
Paramètres de  
réseau

(a,c)  $\frac{c}{a} = \sqrt{\frac{8}{3}}$  (cas idéal)

a

## 2) Structure du cristal parfait

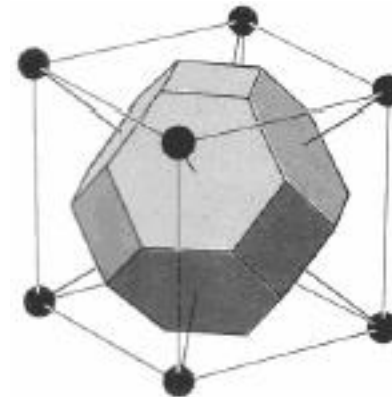
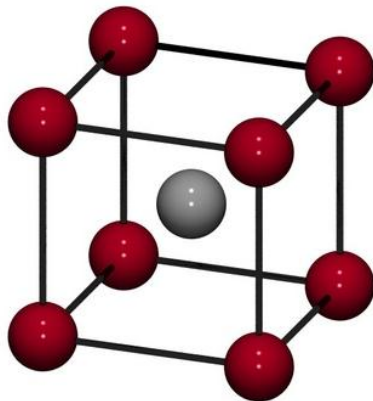
CFC



WS

Maille oblique: 1 atome/maille  
Maille cubique: 4 atomes/maille

CC

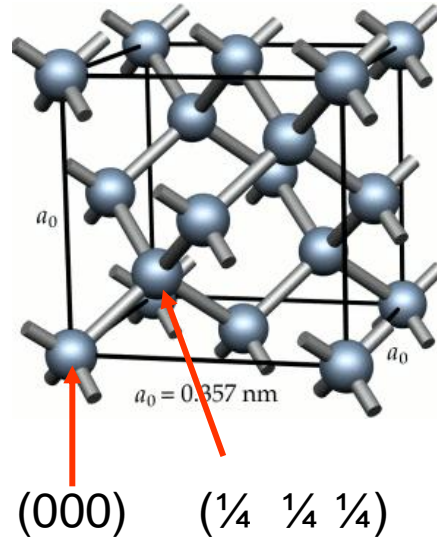


WS

Maille oblique: 1 atome/maille  
Maille cubique: 2 atomes/maille

## 2) Structure du cristal parfait

- Structure diamant

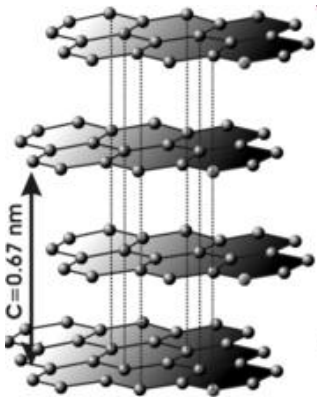


solides covalents:  
C(diamant)  
Si, Ge etc.

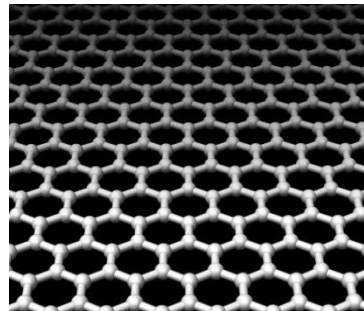
Taux de remplissage=34%

CFC (2 atomes par maille)

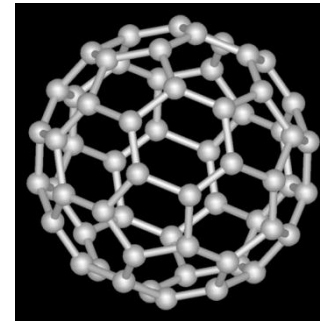
- Le Carbone dans tous ses états



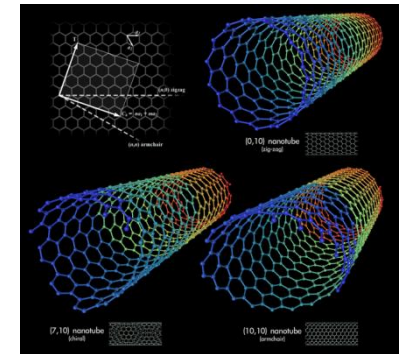
graphite



graphène



fullerène



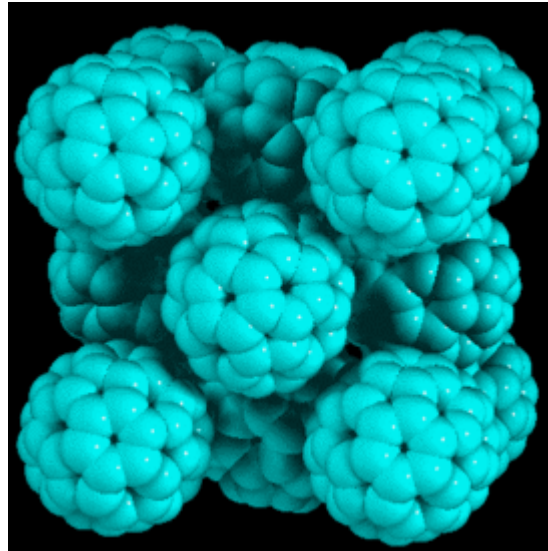
nanotubes

## 2) Structure du cristal parfait

---

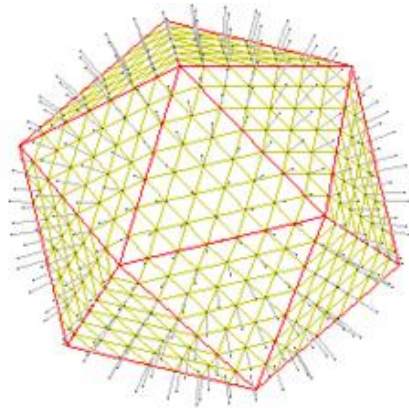
- La cristallisation du C60

Les molécules de C60 (en interaction faible de type VdW) cristallisent à basse température sur un réseau cfc. Un certain désordre orientationnel apparaît au-delà d'une certaine température.

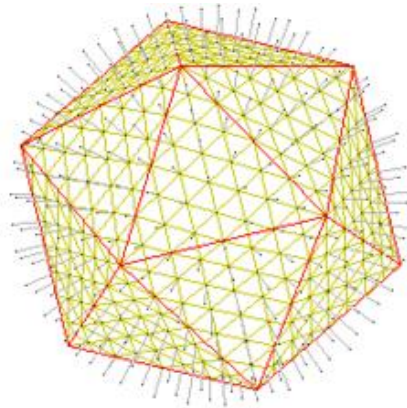


## 2) Structure du cristal parfait

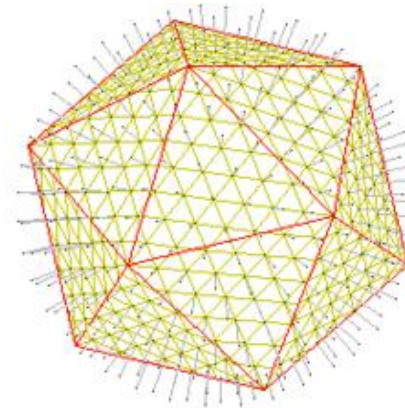
### 2.1.7 Pavage de la sphère



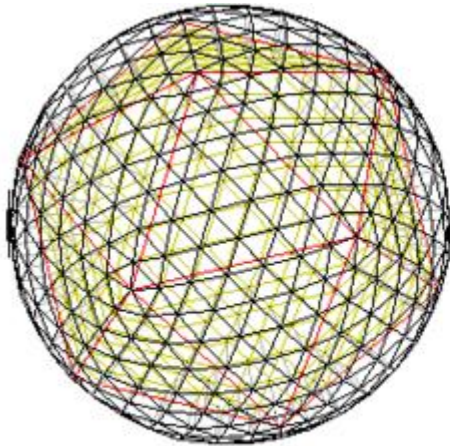
Géode V-7-0



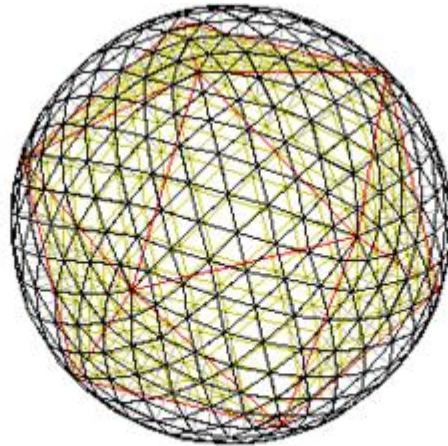
Géode V-4-4



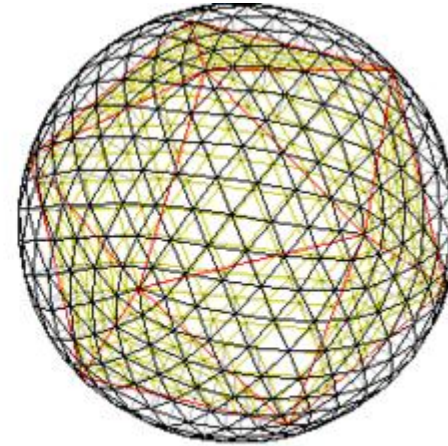
Géode V-5-3



Géode V-7-0



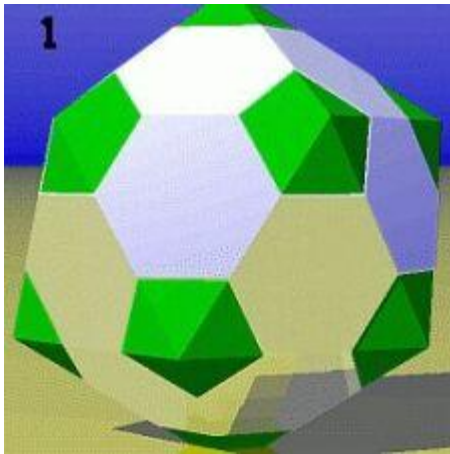
Géode V-4-4



Géode V-5-3

## 2) Structure du cristal parfait

Le ballon de foot C60



(cliquez sur le ballon)

La tente géode

